

# Silnice II/592 Chrastava - Nádražní ulice

Diagnostický průzkum pomocí technologie GPR a FWD



BEYOND  
THE  
SURFACE

# Silnice II/592 Chrastava - Nádražní ulice

Diagnostický průzkum pomocí technologie GPR, analýza dat  
GPR a FWD

# Obsah

|   |    |
|---|----|
| 1. Úvod .....                                   | 1  |
| 2. Základní principy technologie GPR.....       | 1  |
| 2.1. Princip technologie GPR .....              | 1  |
| 3. Legenda a vysvětlení výstupů.....            | 3  |
| 4. Popis úseku a provedených zkoušek .....      | 4  |
| 5. Zpracování a interpretace dat.....           | 7  |
| 5.1 Tloušťky konstrukčních vrstev vozovky ..... | 7  |
| 6. Riziko vzniku kolejí typu 1 a 2.....         | 9  |
| 6.1 Riziko vzniku kolejí typu 1 .....           | 9  |
| 6.2 Riziko vzniku kolejí typu 2 .....           | 10 |
| 7. Shrnutí a závěry .....                       | 11 |
| Seznam obrázků.....                             | 12 |
| Seznam příloh .....                             | 12 |

# 1. Úvod

Dne 25. května 2023 provedla společnost Roadscanners Central Europe s.r.o. diagnostické zaměření úseku silnice II/592 v obci Chrastava na Nádražní ulici. Zaměření bylo provedeno pomocí technologie georadaru (GPR) za použití kontaktní i bezkontaktní antény. Hodnoceny byly 2 měřené linie - linie pravého jízdního kola v prvním směru (pravý pruh) a linie pravého jízdního kola ve druhém směru (levý pruh). Současně s měřením pomocí georadarových antén, byl pořízen i videozáznam měřeného úseku s GPS souřadnicemi pomocí zařízení Road Doctor® CamLink.

Měření bylo provedeno v obou směrech celkem ve 2 měřených liniích. Délka linie byla stanovena dle měřících přístrojů na 463,81 m. Celkem bylo v rámci projektu zaměřeno 924,42 m komunikace.

Účelem měření bylo provést diagnostiku měřeného úseku, určit mocnosti konstrukčních vrstev a za pomoci dodaných referenčních dat (FWD) provést přepočítání pevnostních charakteristik vozovky (SCI, BCI, BC).

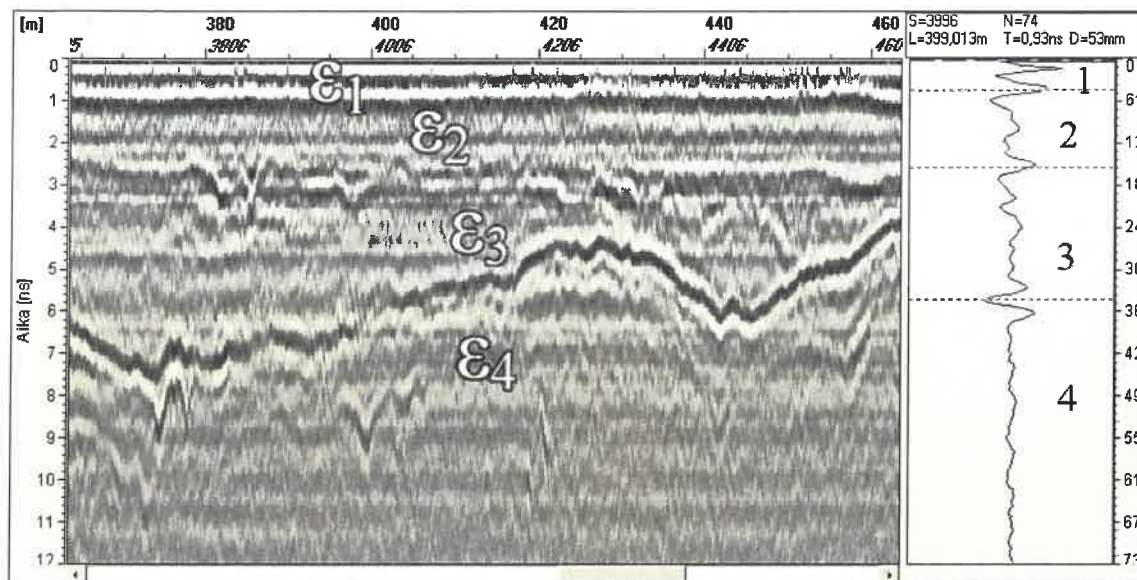
Tento dokument obsahuje výsledky analýzy založené na naměřených datech.

## 2. Základní principy technologie GPR

### 2.1. Princip technologie GPR

Georadar se skládá z rádiového vysílače a přijímače, které spolupracují společně s GPR anténami. Princip georadarové metody spočívá v opakovaném vysílání vysokofrekvenčního elektromagnetického impulsu vysílací anténou do zkoumaného prostředí. V místech, kde je změna elektromagnetických vlastností prostředí, dochází k odrazu části energie vyslaného elektromagnetického impulsu a ta se registruje přijímací anténou. Tento impuls je získávaný z rozličných druhů vrstev, poruch spojitosti materiálu způsobených vlhkostí, nebo jinými příčinami. Je měřen čas vyslání a příjmu impulsu.

V případě častého opakování v krátkých intervalech lze získat výsledky v kontinuálním zobrazení (obrázek 1).



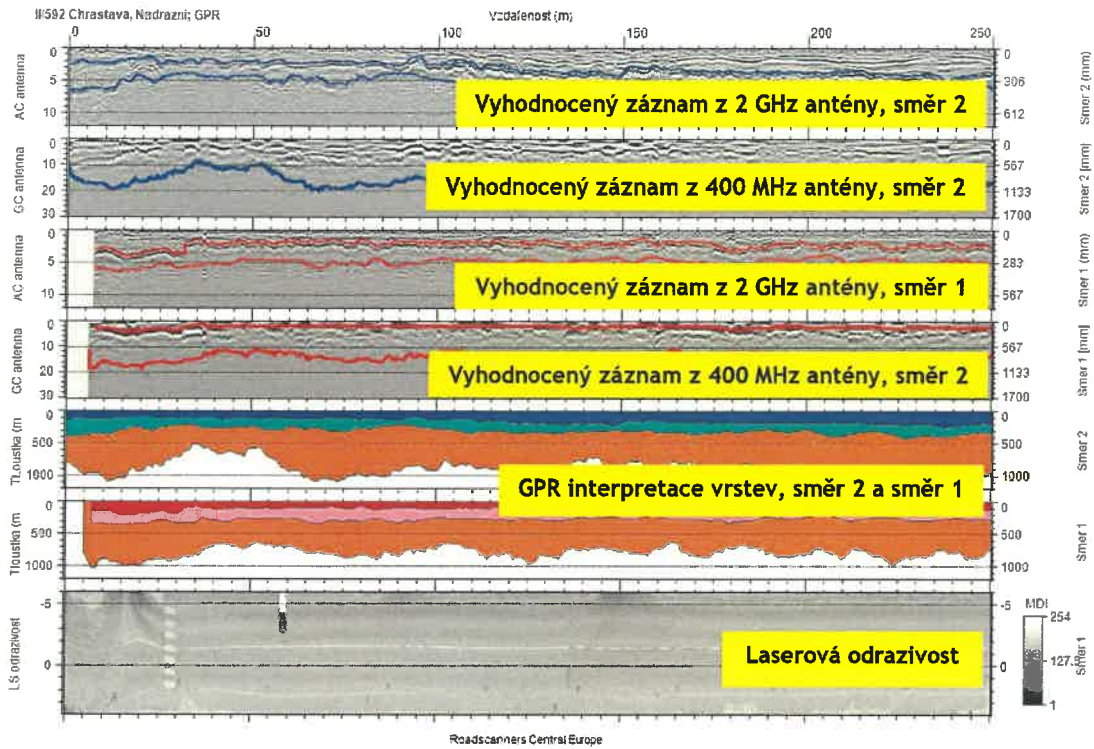
Obrázek 1. Profil měření georadarem s „horn“ anténou individuálním pulsem. Profil zobrazuje odraz od dvou vrstev s různými dielektrickými hodnotami ( $\epsilon$ ). Obrázek ve vrstvě 1 zobrazuje asfaltovou vrstvou, vrstva 2 zobrazuje vrchní podkladovou vrstvou, vrstva 3 zobrazuje spodní podkladovou vrstvou a vrstva 4 filtrační vrstvou. Obrázek ukazuje, že dielektrická hodnota materiálu (vlhkost) se zvyšuje směrem dolů od povrchu vozovky, s výjimkou dielektrické hodnoty ve vrstvě 4 ( $\epsilon_4$ ), která je menší než hodnota v podkladní vrstvě a polarita odrazu je převrácená (černá čára uprostřed dvou bílých čar).

Obecně platí, že rychlost šíření vln a jejich odrazu je ovlivněna permitivitou, magnetickou citlivostí a elektrickou vodivostí materiálu. Zobrazuje variabilitu v závislosti na celkovém typu používaného asfaltu, typu pojiva (živice), přítomnosti vodivých minerálů, pórovitosti, poruchovosti a nakonec účinku soli a akumulaci materiálu ve výplni pórů a poruch. Nejdůležitější vlastností, která ovlivňuje elektrický signál GPR, je dielektrická permitivita, která ovlivňuje rychlost GPR signálu v materiálu.

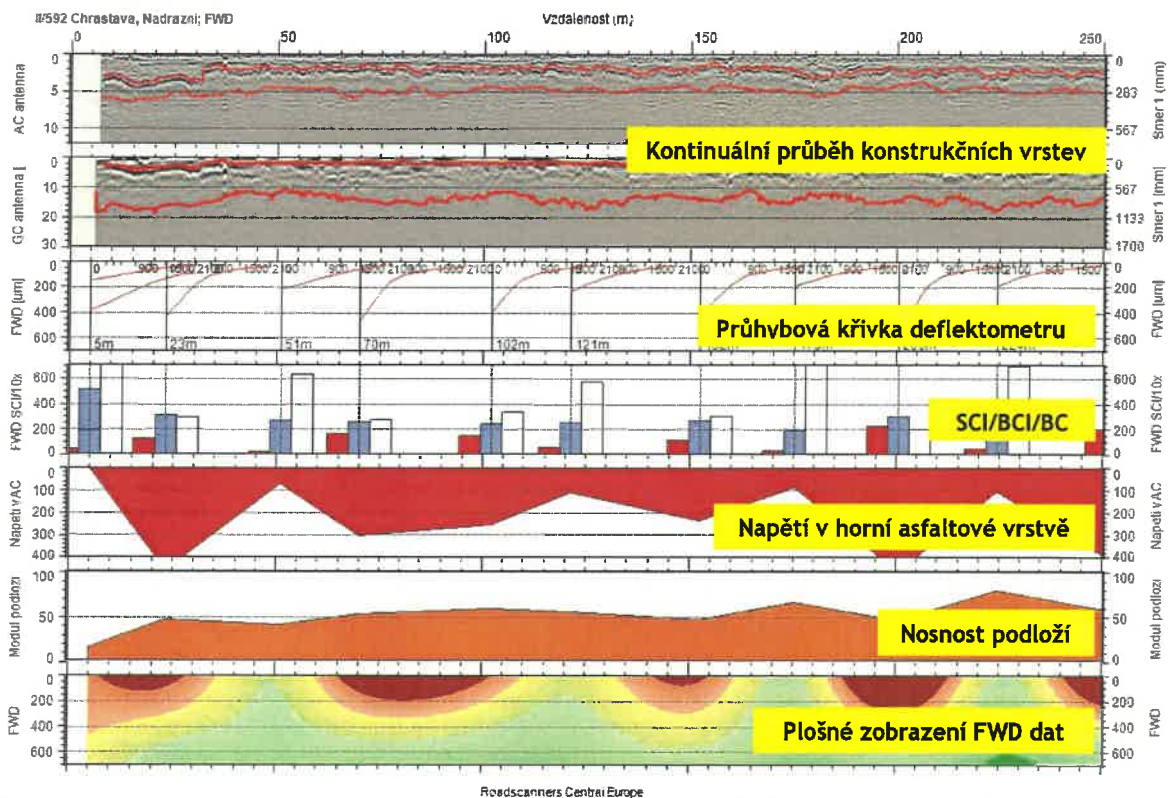
Vlnová délka antény ovlivňuje schopnost systému identifikovat objekty různých velikostí. Například vysoké frekvence antény s krátkou vlnovou délkou mají lepší rozlišení, ale menší hloubku průniku, zatímco nízké frekvence antény s delší vlnovou délkou mají hrubší rozlišení, avšak pronikají hlouběji do materiálů.

Antény typu „horn“ pracují s frekvencí 1-2 GHz. Hloubka průniku „horn“ antény je limitována na přibližně 1 m. Během měření je anténa zavěšená přibližně 0,3-0,5 m nad měřeným povrchem. Rychlost jízdy během měření je vysoká a to až 90 km/hod. Další použitou anténou v tomto měření byla anténa s frekvencí 400 MHz s měřicí hloubkou přibližně 3 m. Při měření s 400 MHz anténou je nutný bližší kontakt s měřeným povrchem, a proto je rychlost jízdy během měření přibližně 40 až 50 km/hod.

### 3. Legenda a vysvětlení výstupů



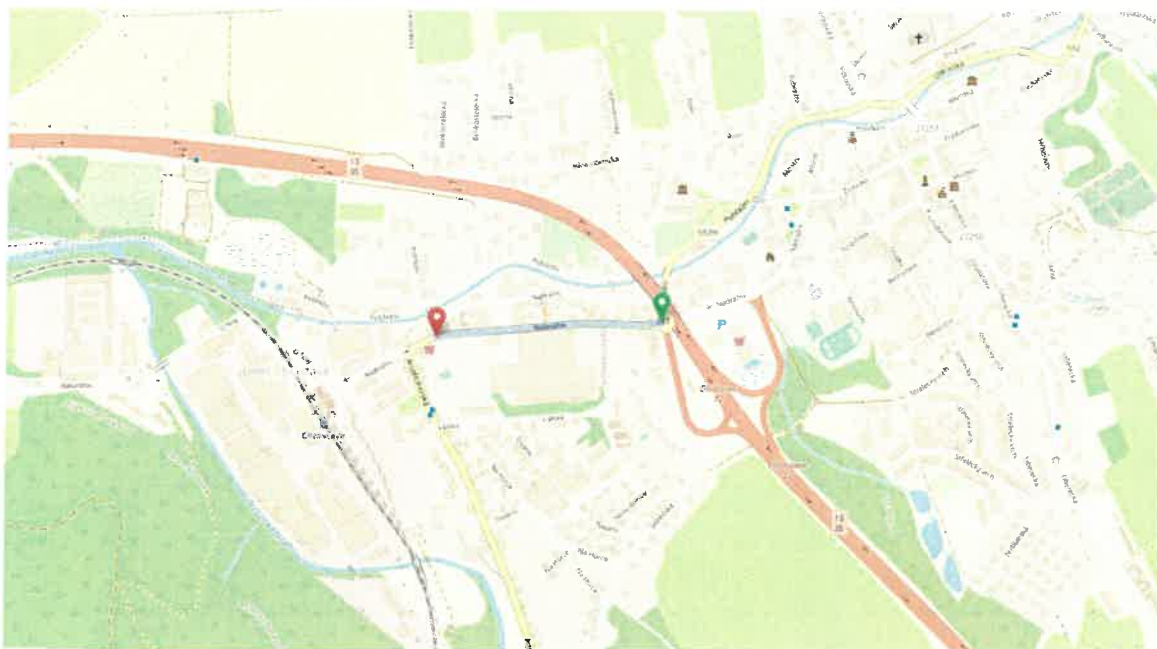
Obrázek 2 Průběhy záznamů, vyhodnocení a legenda



Obrázek 3 Průběhy dat, vyhodnocení a legenda

## 4. Popis úseku a provedených zkoušek

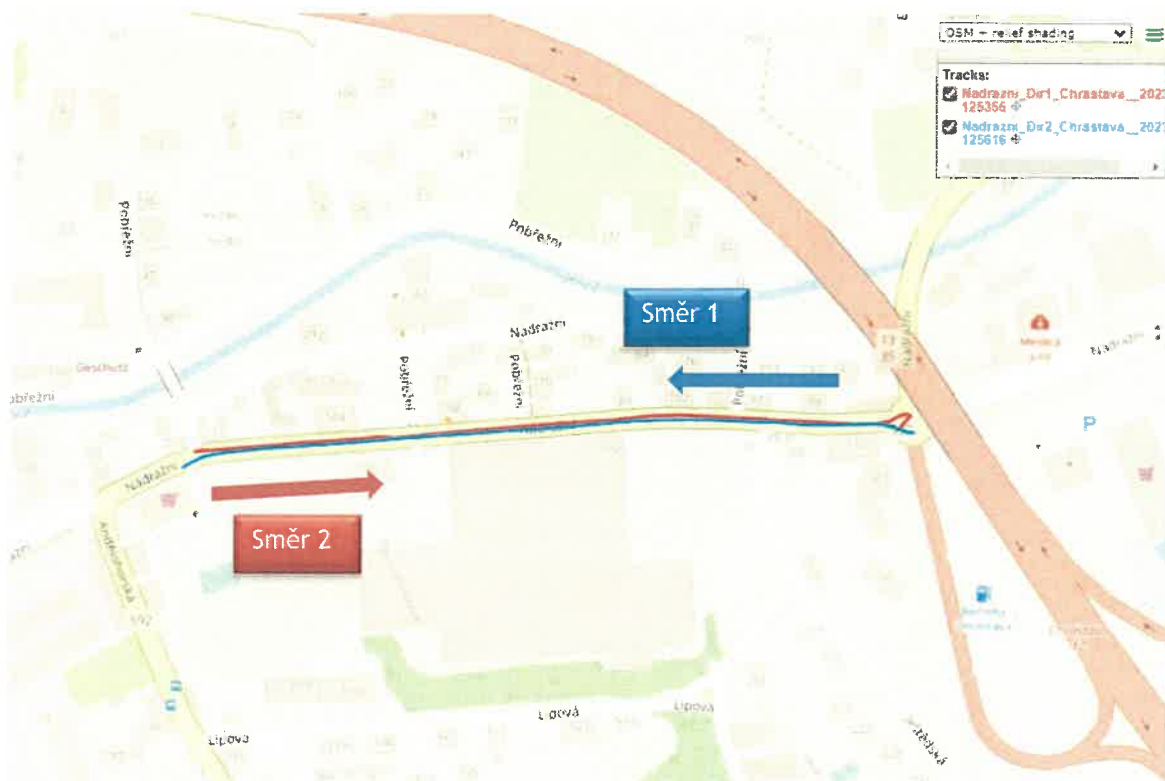
Měřený úsek silnice II/592 Chrastava, Nádražní je dlouhý 463,81 m v jednom směru. Měření bylo započato v okružné křižovatce na křížení silnic II/592 s obecní silnicí Nádražní ulice v obci Chrastava. Konec měřeného úseku byl v křižovatce typu T v obci Chrastava při samoobsluze s popisným číslem Nádražní 94. Silnice má v tomto úseku 2 jízdní pruhy, zaměření bylo provedeno v každém směru jedenkrát, vyhodnoceny byly 2 zaměřené linie. Denní intenzita dopravy na daném úseku je dle výsledků celostátního sčítání dopravy z roku 2020 průměrně 71 těžkých nákladných motorových vozidel, 2810 osobních a dodávkových vozidel a 23 jednostopých motorových vozidel za 24 hodin.



Obrázek 4 Náhledová mapa měřeného úseku silnice II/592 Chrastava, Nádražní ulice. Mapový podklad: [www.openstreetmap.org](http://www.openstreetmap.org)



Obrázek 5 Detailní mapa měřeného úseku silnice II/592 Chrastava, Nádražní ulice. Mapový podklad: [www.openstreetmap.org](http://www.openstreetmap.org)



Obrázek 6. Mapa měřeného úseku silnice II/592 Chrastava, Nádražní ulice. Mapový podklad: [www.openstreetmap.org](http://www.openstreetmap.org)



Obrázek 7. Začátek a konec měřeného úseku ze zařízení CamLink

Měření georadarem (GPR) bylo provedeno pomocí zařízení GSSI SIR-30 se dvěma anténami 2 GHz anténou typu “horn” a 400 MHz anténou typu “ground coupled”. Taktéž bylo pořízeno digitální video s GPS souřadnicemi.



Obrázek 8. GPR měřicí systém společnosti Roadscanners CE vybavený 2 GHz “horn” anténou a 400 MHz ground-coupled anténou před vozidlem. Videokamera s GPS přijímačem a laserový skener jsou upevněny na střeše vozidla, 3D akcelerometr na zadní nápravě vozidla.

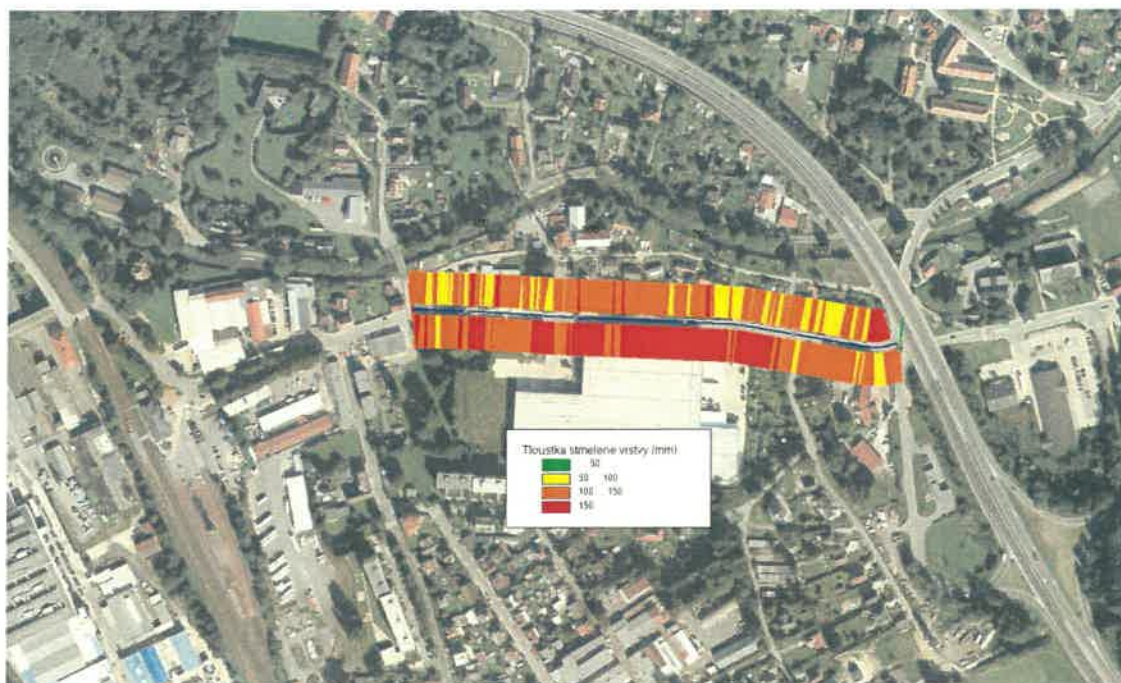
## 5. Zpracování a interpretace dat

Údaje z GPR byly zpracovány a vyhodnoceny v softwaru Road Doctor 3<sup>®</sup>. Zároveň byly do softwaru importovány i dodané údaje z měření deflektometrem (FWD) a záznam digitálního videa pro komplexní interpretaci.

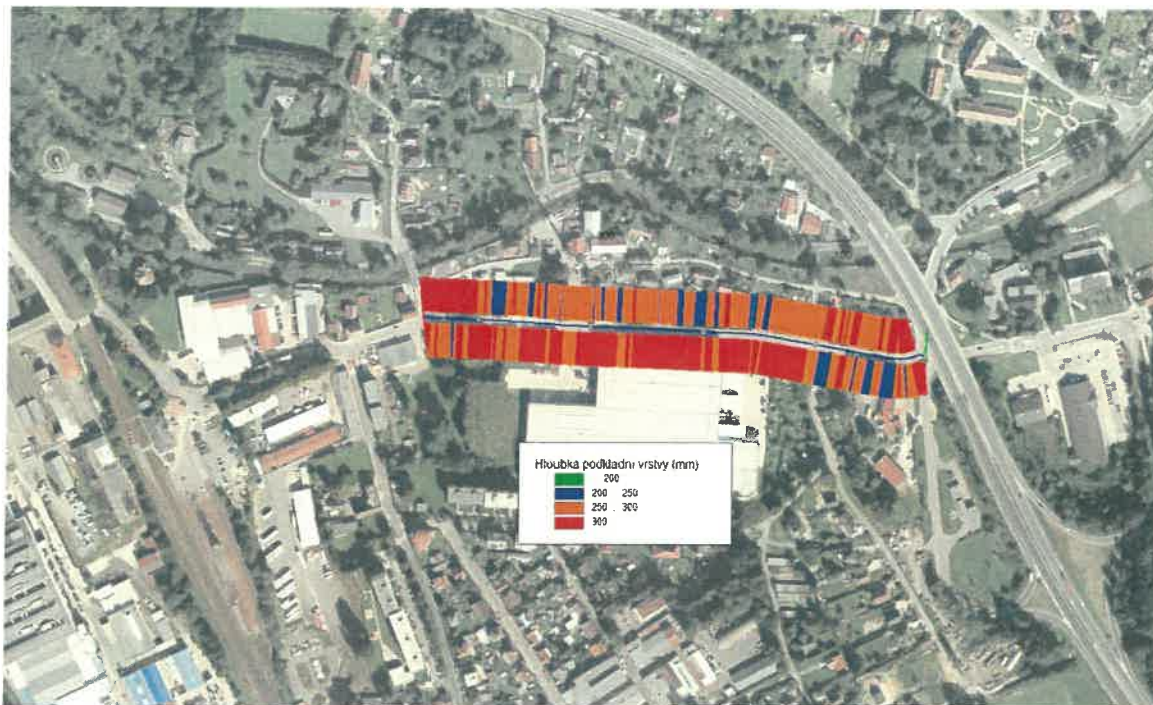
Interpretace GPR údajů byla provedena pro 2 nejdůležitější rozhraní tohoto průzkumu a to pro spodek asfaltové vrstvy a rozhraní mezi konstrukcí vozovky a podložím/násypem.

### 5.1 Tloušťky konstrukčních vrstev vozovky

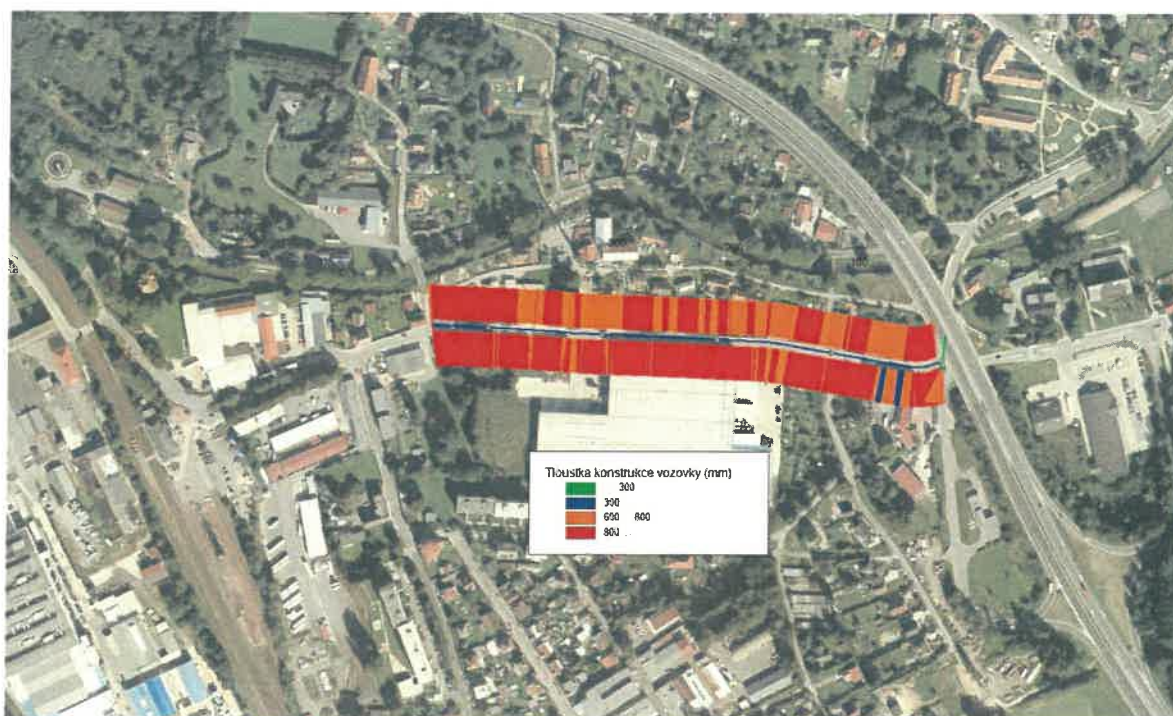
Úsek silnice II/592 tvoří stmelené vrstvy s průměrnou tloušťkou 115,78 mm a nestmelené podkladné vrstvy s průměrnou tloušťkou 280,98 mm. Celková tloušťka konstrukce dosahuje hodnoty průměrně 814,02 mm v prvním směru (pravý pruh vozovky). Ve druhém směru jsou hodnoty stmelené vrstvy s průměrnou tloušťkou 151,83 mm, nestmelené podkladné vrstvy s průměrnou tloušťkou 305,62 mm a celková tloušťka konstrukce se pohybuje na průměrné hodnotě 893,63 mm. Podélné profily s interpretací - hodnocením průběhu vrstev - včetně dodaných dat FWD silnice II/592 jsou zobrazeny v přílohách 1 této zprávy.



Obrázek 9. Tloušťka stmelených vrstev (asfaltových vrstev) v jednotlivých hodnocených liniích úseku (pravá, levá ve směru staničení) na mapě.



Obrázek 10. Tloušťka podkladních nestmelených vrstev v jednotlivých hodnocených liniích úseku (pravá, levá ve směru staničení) na mapě.



Obrázek 11. Celková tloušťka konstrukce vozovky v jednotlivých hodnocených liniích úseku (pravá, levá ve směru staničení) na mapě.

## 6. Riziko vzniku kolejí typu 1 a 2

### 6.1 Riziko vzniku kolejí typu 1

Na základě výzkumného projektu ROADDEX ([www.roadex.org](http://www.roadex.org)) v EU je vznik kolejí typu 1 popisován jako problém slabých vrchních vrstev vozovky. V této analýze jsou deformační hodnoty počítány ze spodku podkladní vrstvy, která se používá jako indikátor nebezpečí vzniku kolejí typu 1. Pouze 4 % hodnot napětí analyzovaného úseku dosahuje pod 100 mikro deformačních jednotek a 44 % hodnot dosahuje 100-200 mikro deformačních jednotek a až 30,6 % hodnot dosahuje 200 -300 mikro deformačních jednotek a tím spadá do kategorie s vysokým rizikem vzniku kolejí typu 1. Obdobně, téměř 80 % hodnot povrchového indexu křivosti (SCI 300) je nižších než 150  $\mu\text{m}$ . Téměř celá sekce představuje zvýšené riziko vzniku kolejí typu 1, jak lze vidět na mapě (obrázek 12).



Obrázek 12. Hodnoty napětí (nahoru, vpravo ve směru staničení) a SCI200 (dolu, vlevo ve směru staničení) zobrazené na mapě.

## 6.2 Riziko vzniku kolejí typu 2

Podle výzkumu ROADDEX ([www.roadex.org](http://www.roadex.org)) je vznik kolejí typu 2 popsán jako problém ve slabém a neúnosném podloží. Pro stanovení rizika vzniku kolejí typu 2 je využívána analýza kombinace hodnot modulu podloží a BCI hodnot vypočtených z údajů FWD. Parametry získané na analyzovaném úseku silnice II/592 poukazují na poměrně vysoké riziko vzniku kolejí typu 2. Pouze 30 % hodnot modulu podloží je nižších než 30 MPa. Hodnoty modulu podloží jsou zobrazeny na mapě (obrázek 13) společně s odpovídajícími hodnotami BCI (podkladový index křivosti). Přibližně 98 % hodnot podkladového indexu křivosti BCI (BCI; D900-D1800) je vyšších než 40 mikro metrů, což znamená, že konstrukční vrstvy silnice na těchto místech již neplní správně svoji funkci a riziko pro vznik kolejí typu 2 je extrémně vysoké.

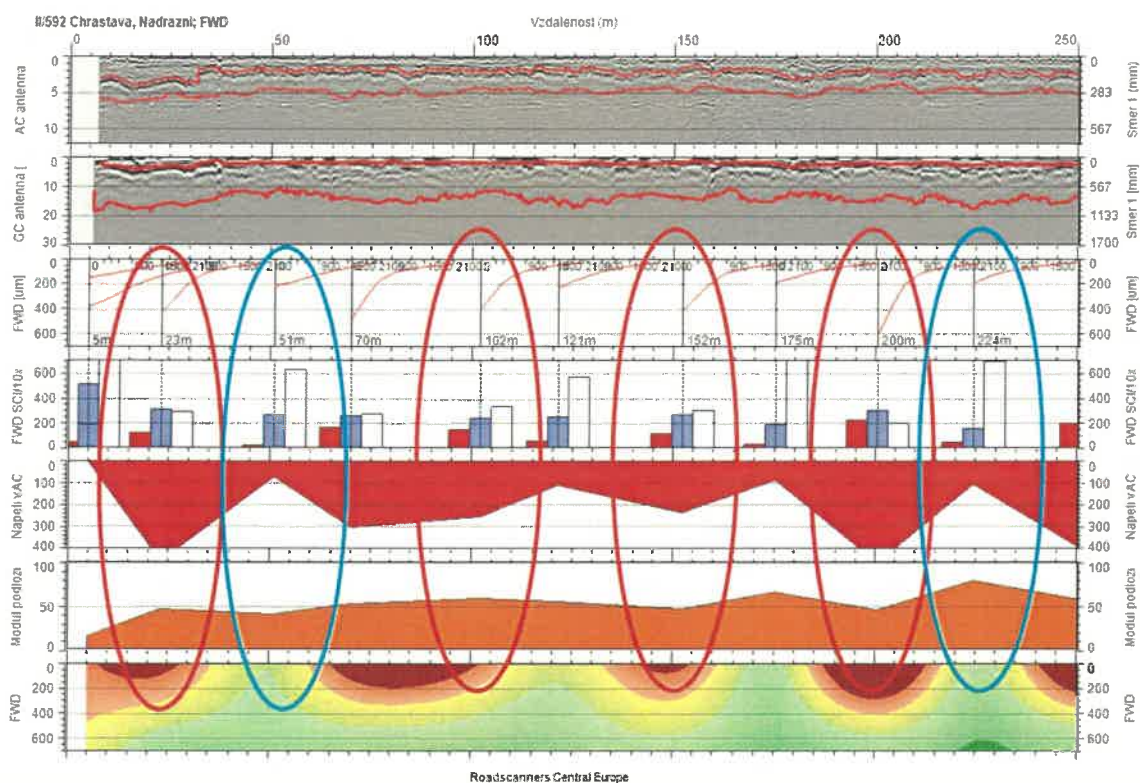


Obrázek 13. Hodnoty modulu podloží (nahoru, vpravo ve směru staničení) a BCI podkladového indexu křivosti (dolu, vlevo ve směru staničení) zobrazené na mapě.

## 7. Shrnutí a závěry

Zpracovaná interpretace tloušťek konstrukčních vrstev vozovky a následná diagnostika byla založená na výsledcích dat georadaru (GPR) a deflektometru (FWD). Asfaltová vrstva analyzovaného úseku silnice II/592 je po vizuální stránce v pořádku, ale data z deflektometru prokazují, že napětí uvnitř vrstvy je nad 300 mikro deformačních jednotek což indikuje vznik mikrotrhlin uvnitř asfaltové vrstvy a její krátkou životnost. Tuhost horní asfaltové vrstvy je nízká a povrchový index křivosti (SCI) dosahuje průměrné hodnoty 93  $\mu\text{m}$ . Asfaltovou vrstvu lze považovat za nedostatečnou s průměrnou tloušťkou dosahuje hodnoty 115,78 mm v prvním směru a 151,83 mm v druhém směru. Únosnost vozovky ukazuje velice nestabilní až nesrozumitelné hodnoty, protože se velice liší v rámci jednoho jízdního pruhu vid' obr. 14 (červené sekce kriticky slabé, modré sekce velice únosné). Velice nízké hodnoty pro podkladní/nestmelené vrstvy, což v kombinaci se slabým podložím a vysokým napětím v asfaltové vrstvě snižuje celkovou únosnost vozovky.

Vzhledem na aktuální technický stav nárůst intenzity dopravy kvůli plánovanému navýšení dopravy do areálu RENWON o 104 (88 + 16) nákladních automobilů za den neovlivní stav ani provozní způsobilost konstrukce vozovky.



Obrázek 14. Hodnoty dat z FWD zařízení zobrazující průhybovou křivku, povrchový index křivosti SCI, podpovrchový index křivosti BCI a nosnost konstrukce vozovky BC. Napětí v asfaltové vrstvě, nosnost podloží a nosnost konstrukce vozovky

## Seznam obrázků

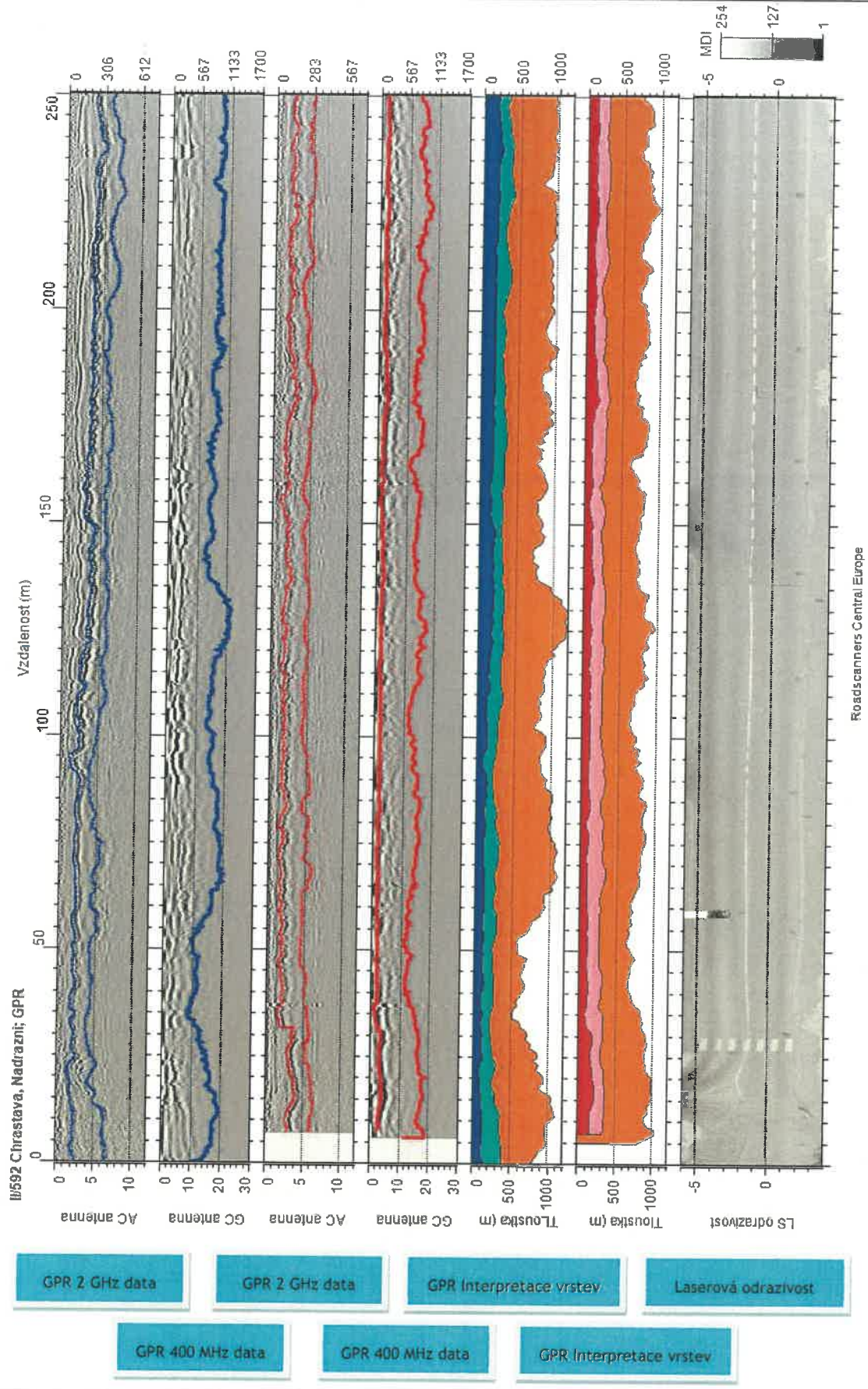
|   |    |
|---|----|
| <i>Obrázek 1. Profil měření georadarem s “horn” anténou individuálním pulsem. Profil zobrazuje odraz od dvou vrstev s různými dielektrickými hodnotami (<math>\epsilon</math>). Obrázek ve vrstvě 1 zobrazuje asfaltovou vrstvu, vrstva 2 zobrazuje vrchní podkladovou vrstvu, vrstva 3 zobrazuje spodní podkladovou vrstvu a vrstva 4 filtrační vrstvu. Obrázek ukazuje, že dielektrická hodnota materiálu (vlhkost) se zvyšuje směrem dolů od povrchu vozovky, s výjimkou dielektrické hodnoty ve vrstvě 4 (<math>\epsilon_4</math>), která je menší než hodnota v podkladní vrstvě a polarita odrazu je převrácená (černá čára uprostřed dvou bílých čar).</i> | 2  |
| <i>Obrázek 2 Průběhy záznamů, vyhodnocení a legenda</i>   | 3  |
| <i>Obrázek 3 Průběhy dat, vyhodnocení a legenda</i>   | 3  |
| <i>Obrázek 4 Náhledová mapa měřeného úseku silnice II/592 Chrastava, Nádražní ulice. Mapový podklad: www.openstreetmap.org</i>  | 4  |
| <i>Obrázek 5 Detailní mapa měřeného úseku silnice II/592 Chrastava, Nádražní ulice. Mapový podklad: www.openstreetmap.org</i>   | 5  |
| <i>Obrázek 6. Mapa měřeného úseku silnice II/592 Chrastava, Nádražní ulice. Mapový podklad: www.openstreetmap.org</i>   | 5  |
| <i>Obrázek 7. Začátek a konec měřeného úseku ze zařízení CamLink</i>  | 6  |
| <i>Obrázek 8. GPR měřicí systém společnosti Roadscanners CE vybavený 2 GHz “horn” anténou a 400 MHz ground-coupled anténou před vozidlem. Videokamera s GPS přijímačem a laserový skener jsou upevněny na střeše vozidla, 3D akcelerometr na zadní nápravě vozidla.</i>   | 6  |
| <i>Obrázek 9. Tloušťka stmelěných vrstev (asfaltových vrstev) v jednotlivých hodnocených liniích úseku (pravá, levá ve směru staničení) na mapě.</i>  | 7  |
| <i>Obrázek 10. Tloušťka podkladních nestmelěných vrstev v jednotlivých hodnocených liniích úseku (pravá, levá ve směru staničení) na mapě.</i>  | 8  |
| <i>Obrázek 11. Celková tloušťka konstrukce vozovky v jednotlivých hodnocených liniích úseku (pravá, levá ve směru staničení) na mapě.</i>   | 8  |
| <i>Obrázek 12. Hodnoty napětí (nahoru, vpravo ve směru staničení) a SCI200 (dolu, vlevo ve směru staničení) zobrazené na mapě.</i>  | 9  |
| <i>Obrázek 13. Hodnoty modulu podloží (nahoru, vpravo ve směru staničení) a BCI podkladového indexu křivosti (dolu, vlevo ve směru staničení) zobrazené na mapě.</i>  | 10 |
| <i>Obrázek 14. Hodnoty dat z FWD zařízení zobrazující průhybovou křivku, povrchový index křivosti SCI, podpovrchový index křivosti BCI a nosnost konstrukce vozovky BC. Napětí v asfaltové vrstvě, nosnost podloží a nosnost konstrukce vozovky</i>   | 11 |

## Seznam příloh

*Příloha 1. Profily měřených linií silnice II/592 Chrastava, Nádražní ulice zobrazené v programu Road Doctor 3<sup>®</sup>, vyhodnocení dat GPR.*

*Příloha 2. Profily měřených linií silnice II/592 Chrastava, Nádražní ulice zobrazené v programu Road Doctor 3<sup>®</sup>, vyhodnocení dat GPR a FWD.*

Příloha 1. Profily měřených linií silnice II/592 Chrastava, Nádražní ulice zobrazené v programu Road Doctor 3®, vyhodnocení dat GPR



GPR 2 GHz data

GPR 2 GHz data

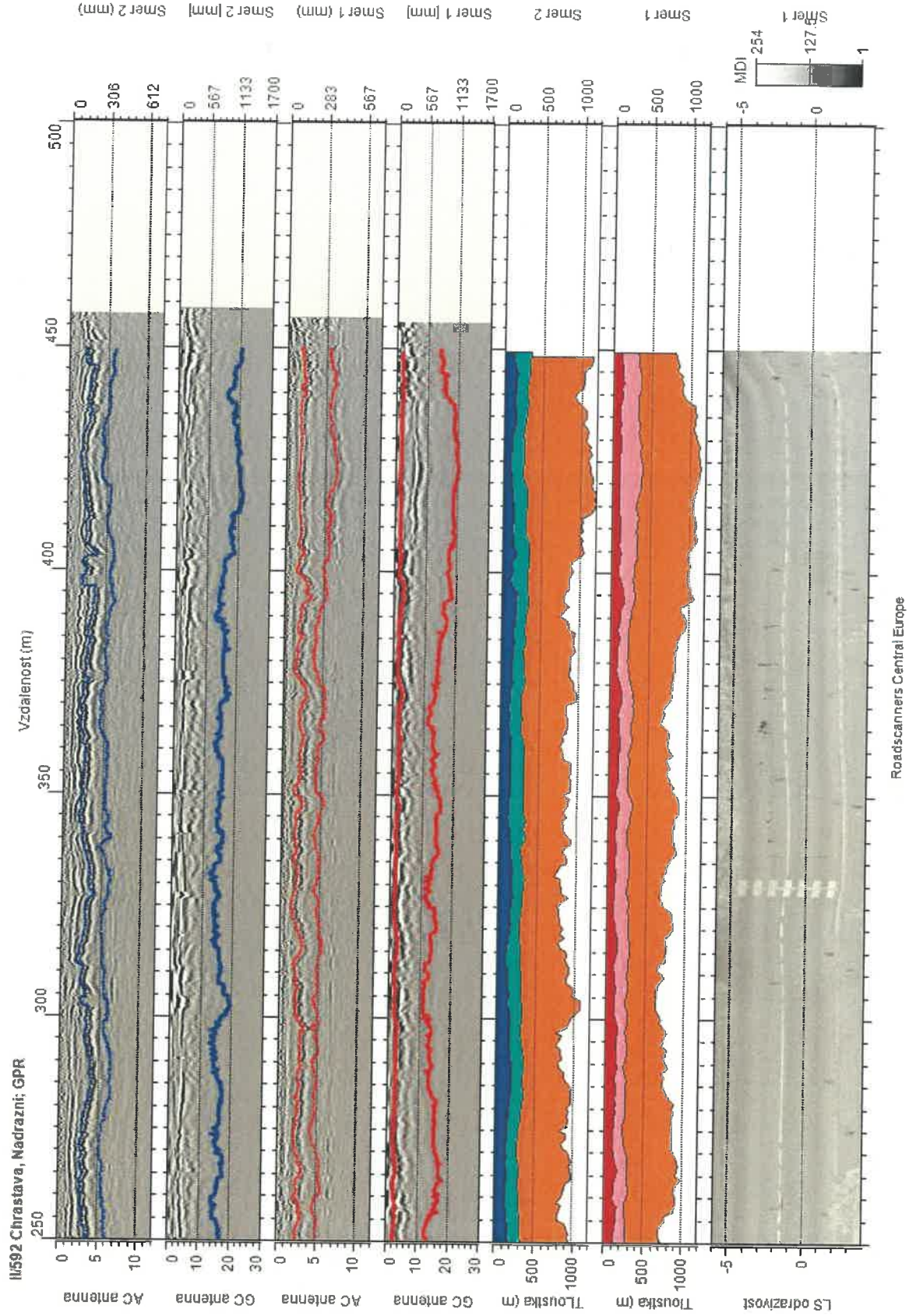
GPR Interpretace vrstev

Laserová odrazivost

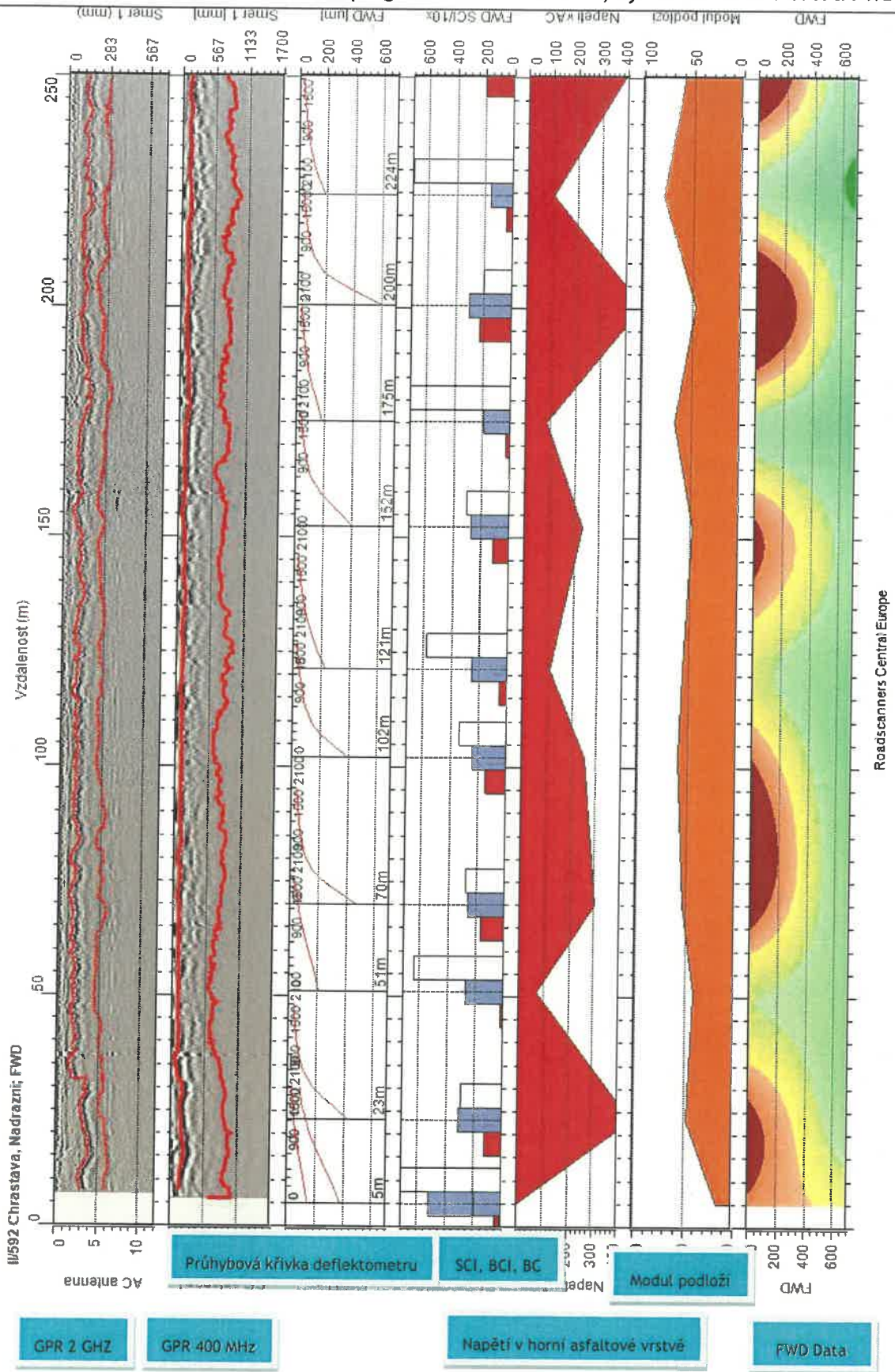
GPR 400 MHz data

GPR 400 MHz data

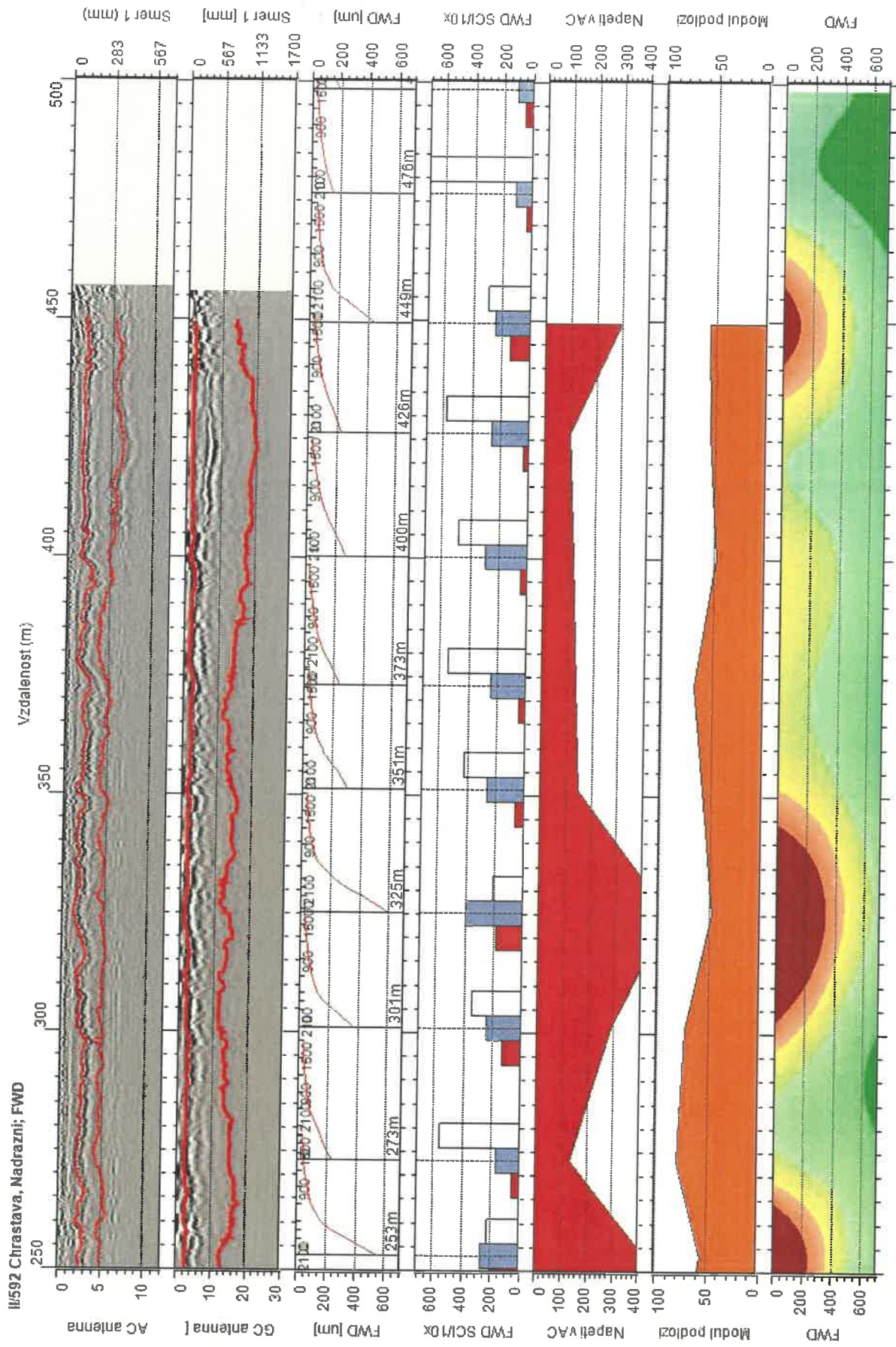
GPR Interpretace vrstev



Příloha 2. Profily měřených linií silnice II/592 Chrastava, Nádražní ulice zobrazené v programu Road Doctor 3®, vyhodnocení dat GPR a FWD



Roadscanners Central Europe



Roadscanners Central Europe



**Roadscanners Central Europe s.r.o**  
Ohradské náměstí 1621/5, 155 00 Prague 5, Czech Republic  
Tel. int. +420 601 325 131

**Rovaniemi, Main Office:**  
Roadscanners Oy, Varastotie 2, FI-96100 ROVANIEMI, Finland  
Tel. int. +358 (0)207 815 660  
Fax int. +358 (0)207 815 662  
General enquiries: [info@roadscanners.com](mailto:info@roadscanners.com)

**BEYOND  
THE  
SURFACE**